

# 페어링 기반 암호시스템의 효율적인 유한체 연산기\*

장 남 수<sup>1\*\*</sup>, 김 태 현<sup>1\*</sup>, 김 창 한<sup>2†</sup>, 한 동 국<sup>3\*\*</sup>, 김 호 원<sup>4\*\*</sup>

<sup>1</sup>고려대학교 정보경영공학전문대학원, <sup>2</sup>세명대학교, <sup>3</sup>한국전자통신연구원,

<sup>4</sup>부산대학교 공과대학 정보컴퓨터공학부

## Efficient Finite Field Arithmetic Architectures for Pairing Based Cryptosystems\*

Nam Su Chang<sup>1\*\*</sup>, Tae Hyun Kim<sup>1\*</sup>, Chang Han Kim<sup>2†</sup>, Dong-Guk Han<sup>3\*\*</sup>, Ho Won Kim<sup>4\*\*</sup>

<sup>1</sup>Graduate School of Information Management and Security, Korea University,

<sup>2</sup>School of Information & Communication systems, Semyung University,

<sup>3</sup>Electronics and Telecommunications Research Institute,

<sup>4</sup>School of computer science and engineering in Pusan National University

### 요 약

페어링 기반의 암호시스템의 효율성은 페어링 연산의 효율성에 기반하며 페어링 연산은 유한체  $GF(3^m)$ 에서 많이 고려된다. 또한 페어링의 고속연산을 위하여 삼항 기약다항식을 고려하여 이를 기반으로 하는 하드웨어 설계방법에 대한 연구가 활발히 진행되고 있다. 본 논문에서는 기존의  $GF(3)$  연산보다 효율적인 새로운  $GF(3)$  덧셈 및 곱셈 방법을 제안하며 이를 기반으로 새로운  $GF(3^m)$  덧셈-뺄셈 unified 연산기를 제안한다. 또한 삼항 기약다항식을 특징을 이용한 새로운  $GF(p^m)$  MSB-first 비트-직렬 곱셈기를 제안한다. 제안하는 MSB-first 비트-직렬 곱셈기는 기존의 MSB-first 비트-직렬 곱셈기보다 시간지연이 대략 30%감소하며 기존의 LSB-first 비트-직렬 곱셈기보다 절반의 레지스터를 사용하여 효율적이며, 제안하는 곱셈 방법은 삼항 기약다항식을 사용하는 모든 유한체에 적용가능하다.

### ABSTRACT

The efficiency of pairing based cryptosystems depends on the computation of pairings. pairings is defined over finite fields  $GF(3^m)$  by trinomials due to efficiency. The hardware architectures for pairings have been widely studied. This paper proposes new adder and multiplier for  $GF(3)$  which are more efficient than previous results. Furthermore, this paper proposes a new unified adder-subtractor for  $GF(3^m)$  based on the proposed adder and multiplier. Finally, this paper proposes new multiplier for  $GF(3^m)$ . The proposed MSB-first bit-serial multiplier for  $GF(p^m)$  reduces the time delay by approximately 30 % and the size of register by half than previous LSB-first multipliers. The proposed multiplier can be applied to all finite fields defined by trinomials..

**Keywords :** Pairing based cryptosystems, Finite Field Arithmetic, Bit-Serial Multiplier

## I. 서 론

최근 페어링(pairing)의 겹선형성(bilinearity)과 같은 특성들이 새로운 암호시스템에 사용되면서 Weil 페어링과 Tate 페어링 등의 페어링의 효율성에 대한 관심과 연구가 증가하고 있다. 페어링을 효율적으로 계산하기 위한 알고리즘은 Miiller에 의해서 처음 제안되었다[14]. 이후 Barreto 외 3인[2]과 Galbraith 외 2인[8]은 표수가 2인 유한체 위에서 정의된 초특이 타원 곡선(super-singular elliptic curve)에서 Tate 페어링의 계산 속도를 향상시킬 수 있는 방법을 제안하였다. Duursma와 Lee[7]는 표수가 3인 경우에 닫힌 공식(closed formula)을 제안하였고 Kwon[13]은 표수가 2인 초특이 타원 곡선으로 Duursma-Lee 방법을 확장하였다. Barre -to 외 3인[1]은 초특이 abelian variety에서 페어링을 효율적으로 계산하기 위한 일반적인 접근 방법인  $\eta_T$  페어링을 제안하였다.

최근 페어링을 구현하기 위한 많은 방법이 제안되었다[3,5,9,10,11,13]. 페어링 구현은 소프트웨어뿐만 아니라 하드웨어에서 다양한 방법으로 진행되고 있지만 병렬기법과 pipelining 기법 등 속도를 향상시킬 수 있는 다양한 방법이 있기 때문에 하드웨어 구현에 대한 연구가 좀 더 활발히 진행되고 있다. 타원곡선 암호시스템에서 사용되는 유한체  $GF(p)$ 와  $GF(2^m)$ 에 대한 하드웨어 연구는 많이 진행되었다. 하지만 페어링 기반 암호시스템의 효율성을 높이기 위한 Duursma-Lee[7] 알고리즘과  $\eta_T$  페어링[1]등의 사용으로 인하여 유한체  $GF(3^m)$ 에 대한 하드웨어 구현 방법이 필요하게 되었다. 다항식 기저(polynomial basis)를 이용한  $GF(3^m)$  연산 방법들은 [4,12,15]에서 연구되었고 [10]에서는 정규 기저를 이용한 방법에 대하여 고려하였다. [15]에서 제안된 덧셈 방법은  $GF(3)$ 의 원소를 두 비트로 표현하였고 3 XOR와 4 OR 게이트를 이용하여  $GF(3)$ 에서 덧셈을 할 수 있는 방법을 제안하였고 곱셈의 경우 4

AND와 2 OR 게이트를 이용하여 구성하였다[10].

본 논문에서는 [10]의  $GF(3)$  덧셈 및 곱셈기가 아닌 새로운  $GF(3)$  덧셈 및 곱셈기를 제안하며 이를 기반으로  $GF(3^m)$  덧셈-곱셈 unified 연산기를 제안한다. 또한, 페어링 기반 암호시스템의 효율성을 높이기 위하여 삼항 기약다항식이 많이 사용되는 것에 착안하여 기존의 MSB-first 및 LSB-first 비트-직렬 곱셈기보다 효율적인 새로운  $GF(p^m)$  MSB-first 비트-직렬 곱셈기를 제안한다. 제안하는 MSB-first 비트-직렬 곱셈기는 기존의 MSB-first 곱셈기에 비하여 시간지연에서 효율적이며, 기존의 LSB-first 비트-직렬 곱셈기보다 50%의 레지스터를 사용한다.

본 논문의 구성은 다음과 같다. 2절에서는 페어링 연산에 대하여 기술하며 3절에서는 기존의  $GF(3^m)$  연산인  $GF(3)$  연산 방법과  $GF(p^m)$  비트-직렬 곱셈기에 대하여 설명한다. 4절에서는 새로운  $GF(3)$  덧셈 및 곱셈기와  $GF(3^m)$  덧셈-곱셈 unified 연산기 및  $GF(p^m)$  MSB-first 비트-직렬 곱셈기를 제안한다. 5절에서는 제안하는 방법과 기존의 방법을 복잡도를 비교하고 결론을 내린다.

## II. 수학적 배경

유한체  $GF(q) = GF(p^m)$ 는 위수(characteristic)  $p$ 인 유한체라 하자.  $GF(q)$ 에서 정의된 타원곡선  $E$ 의 점들의 군을  $E(GF(q))$ 에 의해서 표기하자. 소수  $r$ 이  $q^k - 1$ 을 나누고  $0 < i < k$ 에 대하여  $q^i - 1$ 을 나누지 않는다면 위수가  $r$ 인  $E(GF(q))$ 의 부분군(subgroup)은 security parameter  $k$ 를 갖는다. 위수가  $r$ 인 부분군은  $r$ -torsion 군이고  $E(GF(q))[r]$ 로 표기한다. divisor는  $E(GF(q^k))$ 에 있는 점들의 formal sum이다. divisor  $D = \sum n_P(P)$ 의 degree는  $\sum n_P$ 이다.

$f : E(GF(q^k)) \rightarrow GF(q^k)$ 는  $E$ 에서 rational function이다.  $f$ 의 divisor는  $(f) = \sum \text{ord}_P(f)(P)$ 와 같이 정의된다.  $\text{ord}_P(f)$ 는 점  $P$ 에서  $f$ 의 zero 또는 pole의 order이다. 만일  $f$ 가 zero와 pole을 갖지 않는다면  $\text{ord}_P(f) = 0$ 이다. divisor  $D$ 에 대하여  $D = (f)$ 를 만족하는  $f$ 가 존재하면  $D$ 는 principal divisor라 한다.  $D = \sum n_P(P)$ 가 principal 이기 위한 필요충분조건은  $\sum n_P = 0$ 과  $\sum [n_P](P) = O$ 를 만족하는 것이다.  $O$ 는 무한원점(point at infinity)을 의미한다. 두 divisor의 차이  $D_1 - D_2$ 가 principal divisor이다.

접수일 : 2007년 12월 16일; 채택일 : 2008년 3월 5일

\* “본 연구는 정보통신부 및 정보통신연구진흥원의 대학 IT 연구센터 지원사업의 연구결과로 수행되었음”  
(IITA-2008-(C1090-0801-0025))

\*\* “본 연구는 지식경제부 및 정보통신연구진흥원의 IT핵심 기술개발사업[2005-S-088-04, 안전한 RFID/USN을 위한 정보보호 기술] 사업의 일환으로 수행하였음.”

† 주저자, ns-chang@korea.ac.kr

‡ 교신저자, chkim@semyung.ac.kr

**Algorithm 1** 표수가 3인 경우  $\eta_T$  페어링의 계산 방법

**Input :**  $E(GF(3^m))$ 의 원소인  $P=(x_P, y_P)$ 와  $Q=(x_Q, y_Q)$ .

**Output :**  $\eta_T(P, Q)$

```

01 : if  $b=1$  then  $y_P \leftarrow -y_P$ ;                                //  $GF(3^m)$ 에서 연산 //
02 :  $r_0 \leftarrow x_P + x_Q + b$ ;                                //  $GF(3^m)$ 에서 연산 //
03 :  $R_0 \leftarrow -y_P r_0 + y_Q \sigma + y_P \rho$ ;                //  $GF(3^{6m})$ 에서 연산 //
04 : for  $i=0$  to  $(m-1)/2$  do
05 :    $r_0 \leftarrow x_P + x_Q + b$ ;                                //  $GF(3^m)$ 에서 연산 //
06 :    $R_1 \leftarrow -r_0^2 + y_P y_Q \sigma - r_0 \rho - \rho^2$ ;    //  $GF(3^{6m})$ 에서 연산 //
07 :    $R_0 \leftarrow R_0 R_1$ ;                                //  $GF(3^{6m})$ 에서 연산 //
08 :    $x_P \leftarrow x_P^{1/3}$ ;  $y_P \leftarrow y_P^{1/3}$ ;                //  $GF(3^m)$ 에서 연산 //
09 :    $x_Q \leftarrow x_Q^3$ ;  $y_Q \leftarrow y_Q^3$ ;                //  $GF(3^m)$ 에서 연산 //
10 : end for
11 : Return  $R_0$ ;

```

면  $D_1, D_2$ 는 동치(equivalent)라 하고  $D_1 \sim D_2$ 라 표기한다.  $P \in E(GF(q))[r]^\circ$ 이고  $D \nmid (P) - (O)$ 와 동치인 divisor라 하자. 그러면  $rD$ 는 principal $^\circ$ 이고  $(f_{r,P}) = rD = r(P) - r(O)$ 를 만족하는 rational function  $f_{r,P}$ 가 존재한다. [2]와 [8]로부터 위수  $r$ 의 Tate 페어링은 다음과 같은 bilinear map $^\circ$ 이다.

$$e_r(P, Q) : E(GF(q))[r] \times E(GF(q^k))[r] \rightarrow GF(q^k)^*/(GF(q^k)^*)^r$$

Tate 페어링은  $e_r(P, Q) = f_{r,P}(Q)$ 에 의해서 계산된다. 페어링의 결과는  $GF(q^k)^*/(GF(q^k)^*)^r$ 의 원소 $^\circ$ 이기 때문에  $GF(q^k)^*$ 의 원소  $a, b$ 에 대하여  $a = bc$ 인  $c \in GF(q^k)^*$ 가 존재한다. 페어링이 암호학적으로 사용되기 위하여 이 값은 유일해야 하기 때문에 final exponentiation $^\circ$ 이 수행되어야 한다. reduced Tate 페어링은 다음과 같이 정의된다.

$$e_r(P, Q) = e_r(P, Q)^{(q^k-1)/r}$$

위의 페어링에서 두 번째 입력값  $Q$ 는  $E(GF(q^k))[r]$ 의 원소 $^\circ$ 이기 때문에  $E(GF(q))[r]$ 에서도 정의될 수 있다. 이러한 문제를 제거하기 위하여 distortion map[17]을 이용한다. 대부분의  $GF(q^k)$  연산이 distortion map의 사용으로  $GF(q)$ 의 연산으로 대체되기 때문에 연산 속도가 향상된다. distortion map을 이용한 modified Tate 페어링은 다음과 같이 정의된다.

$$\hat{e}_r(P, Q) = e_r(P, \phi(Q))$$

$P$ 와  $Q$ 는  $E(GF(q))[r]$ 의 원소이고  $\phi$ 는 distortion map $^\circ$ 이다. [7]에서 distortion map과 위의 modified Tate 페어링을 결합하여 닫힌 공식(closed formula)을 만드는 방법을 제안하였다.

본 논문에서는 표수가 3인 경우와  $GF(3^m)$ 위에서 정의된 초특이(supersingular) 타원곡선을 다룰 것이다.  $GF(3^m)$ 위에서 정의된 초특이(supersingular) 타원곡선은 다음과 같다,

$$E^b : y^2 = x^3 - x + b, \text{ where } b \in \{-1, 1\}.$$

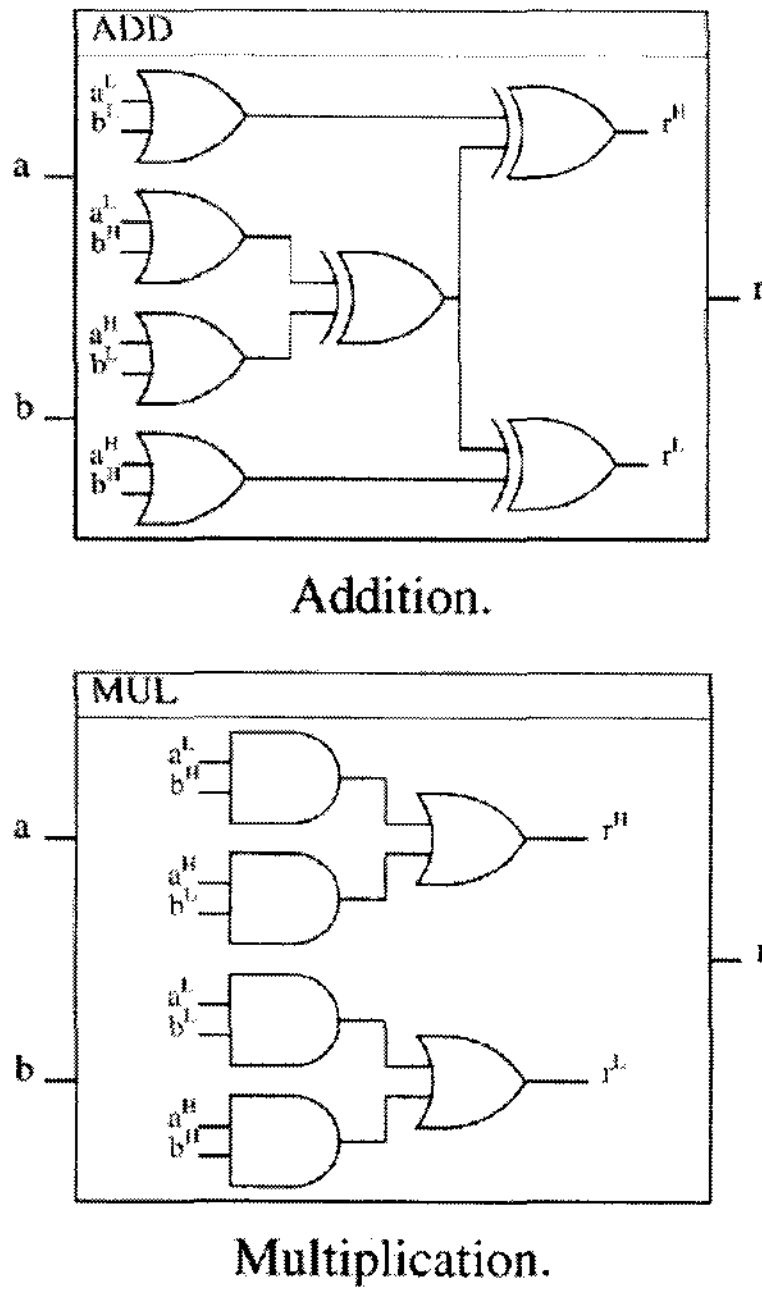
[2]에 의하면 표수가 3인 유한체 위에서 정의된 타원곡선은 security parameter가 6 $^\circ$ 이기 때문에 안전성과 공간측면에서 가장 효과적인 페어링 연산을 제공한다. 표수가 3인 경우 distortion map  $\phi : E(GF(3^m)) \rightarrow E(GF(3^{6m}))$ 는 다음과 같이 정의된다.

$$\phi(P) = \phi((x, y)) = (\rho - x, \sigma y)$$

$\sigma$ 와  $\rho$ 는  $GF(3^{6m})$ 의 원소이고  $\sigma^2 + 1 = 0$ 과  $\rho^3 - \rho - 1 = 0$ 을 만족한다.  $GF(3^m)$ 위에서  $GF(3^{6m})$ 의 기저(basis)는  $\{1, \sigma, \rho, \sigma\rho, \rho^2, \sigma\rho^2\}$ 이다.  $GF(3^{6m})$ 의 원소  $A$ 는 다음과 같이 표현된다.

$$A = (a_0, a_1, a_2, a_3, a_4, a_5)$$

$$= a_0 + a_1\sigma + a_2\rho + a_3\sigma\rho + a_4\rho^2 + a_5\sigma\rho^2$$

(그림 1) 기존의  $GF(3)$  연산기 : (a) 덧셈기 (b) 곱셈기

따라서  $GF(3^{6m}) = GF(3^{3m})[\sigma]/(\sigma^2 + 1)$ 은  $GF(3^{3m})$ 의 1차 확장체이고  $GF(3^{3m}) = GF(3^m)[\rho]/(\rho^3 - \rho - 1)$ 은  $GF(3^m)$ 의 3차 확장체로써 생각할 수 있기 때문에  $GF(3^{6m})$ 에서의 모든 연산은  $GF(3^m)$ 에서 연산으로 바꿀 수 있다. [1]에서 제안된 표수가 3인 경우  $\eta_T$  페어링을 계산하는 알고리즘은 Algorithm 1과 같다.

### III. 기존의 $GF(3^m)$ 연산 방법

$f(x) = x^m + f_t \cdot x^t + f_0$ 를  $GF(3)$  위에서 차수가  $m$ 인 삼항 기약다항식이라 하고  $a$ 를  $f(x)$ 의 해라 하자. 그러면 유한체  $GF(3^m)$ 는  $GF(3)[X]/(f(x))$ 와 동형이기 때문에  $GF(3^m)$ 의 원소  $a$  ( $a$ )는 다항식 기저를 이용해서 다음과 같이 표현할 수 있다.

$$a(\alpha) = a_{m-1}\alpha^{m-1} + \dots + a_1\alpha + a_0 = (a_{m-1} \dots a_1 a_0), \quad (1)$$

where  $a_i \in GF(3)$ .

그리고  $\alpha$ 는  $f(x)$ 의 해이므로  $f(\alpha) = 0$ 에 의하여

$$\alpha^m = -f_t\alpha^t - f_0 \quad (2)$$

이다.  $a(\alpha), b(\alpha) \in GF(3^m)$ 라 하면,  $c(\alpha) = a(\alpha) + b$

(a)는

$$c(\alpha) = a(\alpha) + b(\alpha) = \sum_{i=0}^{m-1} (a_i + b_i)\alpha^i$$

이고  $a_i + b_i$ 는  $GF(3)$ 의 덧셈 연산이다.

#### 3.1 기존의 $GF(3)$ 연산기

본 절에서는 기존의  $GF(3)$  연산에 대하여 기술한다 [10,15]. 식 (1)에서  $a_i$ 는  $GF(3)$ 의 원소이기 때문에  $a_i$ 를 표현하기 위해서는 2비트가 필요하게 된다. [15]에서는  $GF(3)$ 의 원소를 표현하기 위하여 다음과 같은 표기법을 사용하였다.

$$a_i = (a_i^H, a_i^L), \text{ where } a_i^H = a_i \div 2 \quad (3)$$

and  $a_i^L = a_i \bmod 2$

식 (3)의 표현법을 이용하여  $GF(3)$ 의 원소  $a_i$ 와  $b_i$ 의 덧셈  $r_i = a_i + b_i$ 은 3 XOR 게이트와 4 OR 게이트를 이용하여 다음과 같이 계산된다.

$$r_i^H = (a_i^L \vee b_i^L) \oplus t \quad \text{and} \quad r_i^L = (a_i^H \vee b_i^H) \oplus t, \quad , \text{ where } t = (a_i^L \vee b_i^H) \oplus (a_i^H \vee b_i^L)$$

특히  $2(a_i^H, a_i^L) = -(a_i^H, a_i^L) = (a_i^L, a_i^H) \circ$ 으로 뺄셈과 2에 의한 곱셈은 덧셈을 이용하여 쉽게 계산할 수 있다. 또한, 곱셈 연산은

$$r_i^H = (a_i^L \wedge b_i^H) \vee (a_i^H \wedge b_i^L), \\ r_i^L = (a_i^L \wedge b_i^L) \vee (a_i^H \wedge b_i^H),$$

이고 [10]에서 소개된  $GF(3)$ 의 덧셈기 및 곱셈기는 [그림 1]과 같다.

#### 3.2 기존의 $GF(p^m)$ 비트-직렬 곱셈기

본 절에서는 기존의 비트-직렬 곱셈기에 대하여 기술한다 [4,6].  $GF(p^m)$ 의 곱셈은 두 원소의 캐리(Carry) 전파가 없는 다항식 곱셈과 주어진  $f(x)$ 를 이용한 모듈러 연산으로 구성된다. 즉,  $r'(a) = a(\alpha) \cdot b(\alpha)$ 의 곱셈 연산과  $r(a) = r'(\alpha) \bmod f(\alpha)$ 의 모듈러 연산으로 구분된다. 일반적으로 모듈러 연산은 기약다항식  $f(x)$ 를 이용한 나

늦셈으로 구성되나 하드웨어에서는 많은 하드웨어 자원을 사용하는 단점으로 interleaved 연산으로 나눗셈 없이 처리한다. 따라서 shift-and-add 방법으로  $GF(p^m)$ 의 곱셈 연산을 구성한다. 임의의  $GF(p^m)$ 의 원소  $a(\alpha), b(\alpha)$ 의 곱  $r(\alpha) = a(\alpha) \cdot b(\alpha) \ mod f(x)$ 은  $a(\alpha)$ 의 계수처리 방향에 따라 MSB-first (Most-Significant Bit)와 LSB-first(Least-Significant Bit)로 나뉜다. 본 논문에서는 일반적인 페어링 기반의 암호 시스템에서 사용하는 삼항 기약다항식  $f(x) = x^m + f_t x^t + f_0$ 만을 고려한다.

### 3.2.1 기존의 MSB-first 비트-직렬 곱셈기

MSB-first 비트-직렬 곱셈의 기본적인 구조는  $r(\alpha) = a(\alpha) \cdot b(\alpha) \ mod f(x)$ 의 계산을 위하여  $m$ 번의 반복 연산을 수행한다. 즉,

$$\begin{aligned} r'(\alpha) &= a(\alpha) \cdot b(\alpha) \\ &= ((\cdots(a_{m-1}b(\alpha) \cdot \alpha + a_{m-2}b(\alpha)) \cdot \alpha + \cdots) \cdot \alpha \\ &\quad + a_1b(\alpha)) \cdot \alpha + a_0b(\alpha). \end{aligned}$$

이여 반복 구조로 쉽게 설계된다. 반복적인 결과물 저장을 위한 레지스터(register)  $r$  하나 필요하며,  $r(\alpha) = r(\alpha) \cdot \alpha + a_i b(\alpha)$  연산을  $m$ 번 반복한다. 이때  $i$ 는  $m-1$ 부터 0까지 수행하며  $a_i b(\alpha)$ 는  $m-1$ 차 다항식이고  $r(\alpha) \cdot \alpha$ 는  $m$ 차 다항식이므로 한 번의 빨셈으로  $r(\alpha)$ 에 대한 모듈러 감산 연산을 구성할 수 있다. MSB-first 비트-직렬 곱셈은 Algorithm 2와 같다.

자세한 MSB-first 비트-직렬 곱셈의 하드웨어 구조는 [그림 2(a)]와 같다.  $\times \alpha$ 는  $r(\alpha) \cdot \alpha$  연산부로 비용이 들지 않으며 MOD의 세부연산의 구성은 [그림 2(b)]와 같

#### Algorithm 2 MSB-first 비트-직렬 곱셈

Input :

$$a(\alpha) = \sum_{i=0}^{m-1} a_i \alpha^i, \quad b(\alpha) = \sum_{i=0}^{m-1} b_i \alpha^i, \quad a_i, b_i \in GF(p)$$

Output :

$$r(\alpha) = a(\alpha) \cdot b(\alpha) = \sum_{i=0}^{m-1} r_i \alpha^i, \quad r_i \in GF(p)$$

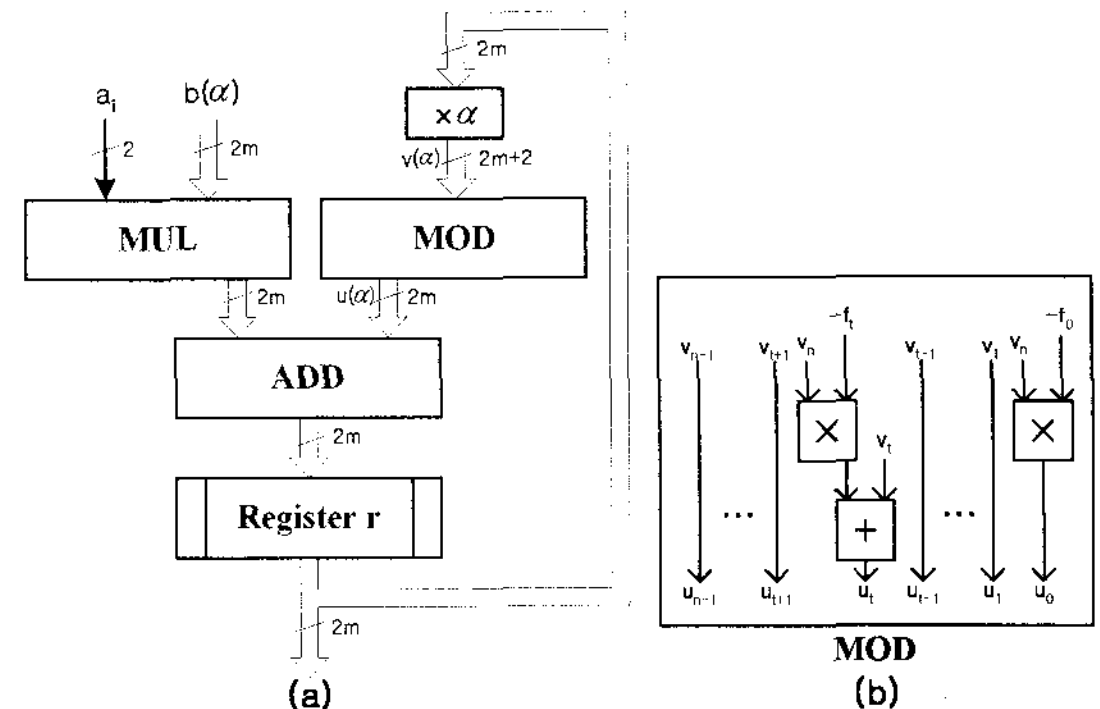
$$r(\alpha) \leftarrow 0$$

for i =  $m-1$  to 0 do

$$r(\alpha) \leftarrow r(\alpha) \cdot \alpha + a_i b(\alpha) \ mod f(x)$$

end for

Return ( $r(\alpha)$ )



(그림 2) (a)  $GF(3^m)$  MSB-first 비트-직렬 곱셈기  
(b) MOD의 세부구조

다. 본 논문의 경우 삼항 기약다항식만을 고려하므로 [그림 2(b)]와 같으니 MOD 연산부는 매우 간단하게 구성된다.  $v(\alpha) = r_{m-1}\alpha^m + \dots + r_0\alpha = v_m\alpha^m + \dots + v_1\alpha_1$  으로부터 삼항 기약다항식  $f(x) = x^m + f_t x^t + f_0$ 에 의하여

$$\begin{aligned} u(\alpha) &= v(\alpha) \ mod f(x) \\ &= \left( \sum_{i=1}^{m-1} v_i \alpha^i \right) + ((-f_t) \cdot v_m) \alpha^t + ((-f_0) \cdot v_m) \end{aligned}$$

이므로,  $((-f_t) \cdot v_m)$ 과  $((-f_0) \cdot v_m)$ 에서 두 번의  $GF(3)$  곱셈 연산,  $r_{t-1} \alpha^t + ((-f_t) \cdot v_m) \alpha^t$ 에서 한 번의  $GF(p)$  덧셈 연산만으로 수행된다. 이때  $f_t, f_0$ 는  $f(x)$ 가 정의되면 고정값이므로 복잡도에 영향을 주지 않는다.

전체 Critical Path는 MOD연산부와 ADD 연산부에 의존하므로,  $GF(p)$  단위 연산을 각각 mul과 add로 정의하면  $1 \cdot \text{mul} + 2 \cdot \text{add}$ 이다. 따라서 전체 시간지연은  $m \cdot \text{mul} + 2m \cdot \text{add}$ 이다. 공간복잡도를 살펴보면 MUL에서  $m$ 개의  $GF(p)$  곱셈기, ADD에서  $m$ 개의  $GF(p)$  덧셈기, MOD에서 각각 2개와 1개의  $GF(p)$  곱셈기 및 덧셈기가 필요하므로 전체 공간복잡도는  $(m+2) \cdot \text{mul} + (m+1) \cdot \text{add}$ 이다.

### 3.2.2 기존의 LSB-first 비트-직렬 곱셈기

LSB-first 비트-직렬 곱셈기 또한 기본적인 구조는  $r(\alpha) = a(\alpha) \cdot b(\alpha) \ mod f(\alpha)$ 의 계산을 위하여  $m$ 번의 반복 연산을 수행하며,

$$\begin{aligned} r'(\alpha) &= a(\alpha) \cdot b(\alpha) \\ &= ((\cdots(a_0b(\alpha) + a_1b(\alpha) \cdot \alpha + \cdots) + a_{m-2}b(\alpha) \cdot \alpha^{m-2}) \end{aligned}$$

$$+ a_{m-1}b(a) \cdot a^{m-1}$$

이다. 따라서 LSB-first 연산은 두 개의 반복 연산으로 구성된다. 첫 번째는 매번 반복 시  $b(a) \cdot a^i$ 에  $a$ 를 곱하여 저장하는 연산부이며, 두 번째는  $i$ 번째에 저장된  $b(a) \cdot a^i$ 에  $a_i$ 를 곱한 후 저장값  $r(a)$ 와 더하는 연산부이다. 즉, MSB-first와 달리 모듈러 연산부가 병렬로 구성되므로 시간복잡도는 감소하나 레지스터 등의 추가 자원이 필요하게 된다. LSB-first 비트-직렬 곱셈은 Algorithm 3과 같다.

자세한 LSB-first 비트-직렬 곱셈의 하드웨어 구조는 [그림 3]와 같다. LSB-first 비트-직렬 곱셈기와 같이  $\times a$ 는  $s(a) \cdot a$  연산부로 비용이 들지 않으며 MOD의 세부연산의 구성은 [그림 2(b)]와 같다. 전체 Critical Path는 MOD연산부가 병렬화되어 MUL과 ADD 연산부에 의존하므로,  $GF(p)$  단위 연산을 각각 mul과 add로 정

### Algorithm 3 LSB-first 비트-직렬 곱셈

Input :

$$a(a) = \sum_{i=0}^{m-1} a_i a^{i}, \quad b(a) = \sum_{i=0}^{m-1} b_i a^{i}, \quad a_i, b_i \in GF(p)$$

Output :

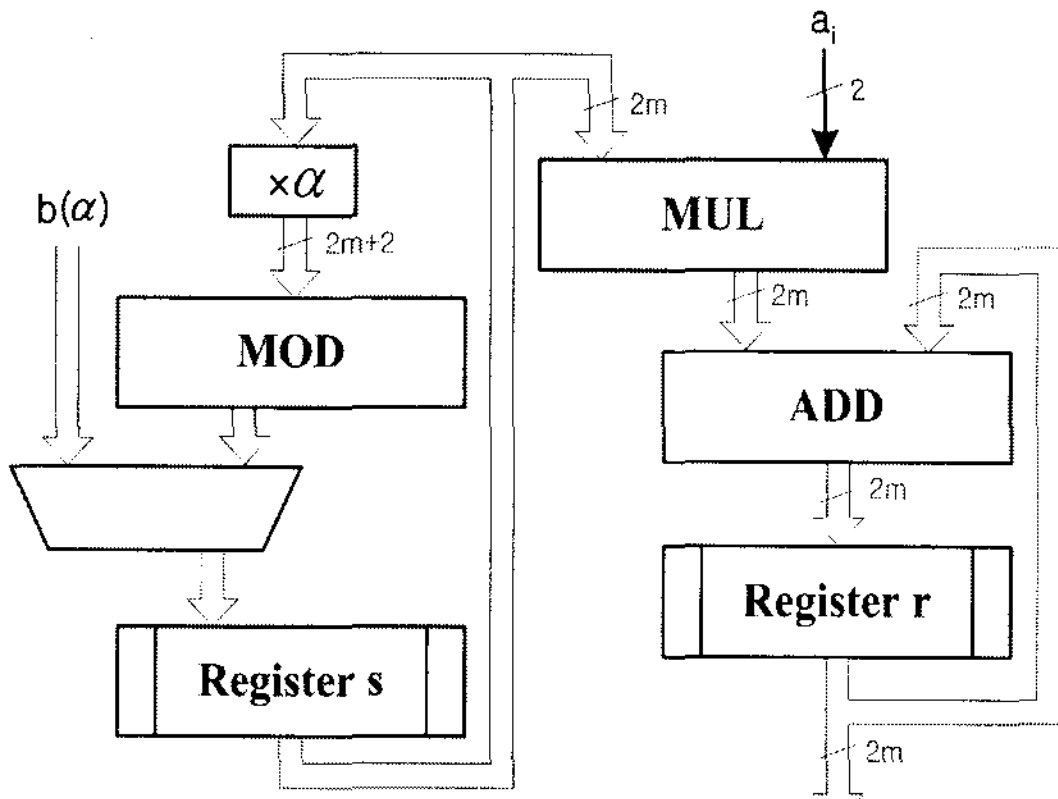
$$r(a) = a(a) \cdot b(a) = \sum_{i=0}^{m-1} r_i a^{i}, \quad r_i \in GF(p)$$

```

 $r(a) \leftarrow 0$ 
 $s(a) \leftarrow b(a)$ 
for  $i = 0$  to  $m-1$  do
     $r(a) \leftarrow r(a) + a_i s(a)$ 
     $s(a) \leftarrow s(a) \cdot a \bmod f(x)$ 
end for

```

Return ( $r(a)$ )



(그림 3)  $GF(3^m)$  LSB-first 비트-직렬 곱셈기

의하면  $1 \cdot \text{mul} + 1 \cdot \text{add}$ 이다. 따라서 전체 시간지연은  $m \cdot \text{mul} + m \cdot \text{add}$ 이다. 공간복잡도를 살펴보면 MUL에서  $m$ 개의  $GF(p)$  곱셈기, ADD에서  $m$ 개의  $GF(p)$  덧셈기, MOD에서 각각 2개와 1개의  $GF(p)$  곱셈기 및 덧셈기가 필요하므로 전체 공간복잡도는  $(m+2) \cdot \text{mul} + (m+1) \cdot \text{add}$ 이며 추가적으로 레지스터  $s$ 가 요구된다.

## IV. 제안하는 페어링 기반 암호시스템의 유한체 연산기

본 절에서는 새로운  $GF(3)$  연산방법과  $GF(3^m)$  덧셈-뺄셈 unified 연산기 MSB-first 타입의 새로운  $GF(p^m)$  비트-직렬 곱셈 방법을 제안한다. 제안하는 비트-직렬 곱셈 방법은 페어링 기반의 암호 시스템에서 효율성을 위하여 삼항 기약다항식을 사용하는데 착안하여 MOD 연산부를 효율적으로 병렬화한다.

### 4.1 제안하는 $GF(3)$ 연산기

본 절에서는 새로운  $GF(3)$  연산방법을 제안한다. 제안하는  $GF(3)$  연산기는  $GF(3^m)$ 의 곱셈기 구성에 효율적인 방법을 고려하여 [15]와 달리  $a_i = (a_i^H, a_i^L)$ 에서  $a_i^H$ 를 부호 비트로  $a_i^L$ 를 데이터 비트로 사용한다. 즉,  $\{0, 1, 2\}$ 는 각각  $\{(0,0), (0,1), (1,1)\}$ 로 표현된다. 이와 같은 표현 방법으로  $GF(3)$ 의 임의의 두 원소  $a_i, b_i$ 의 덧셈  $r_i = a_i + b_i$ 를 비트 단위 연산으로 표현하면

$$r_i^H = (a_i^H \oplus b_i^L) \wedge t,$$

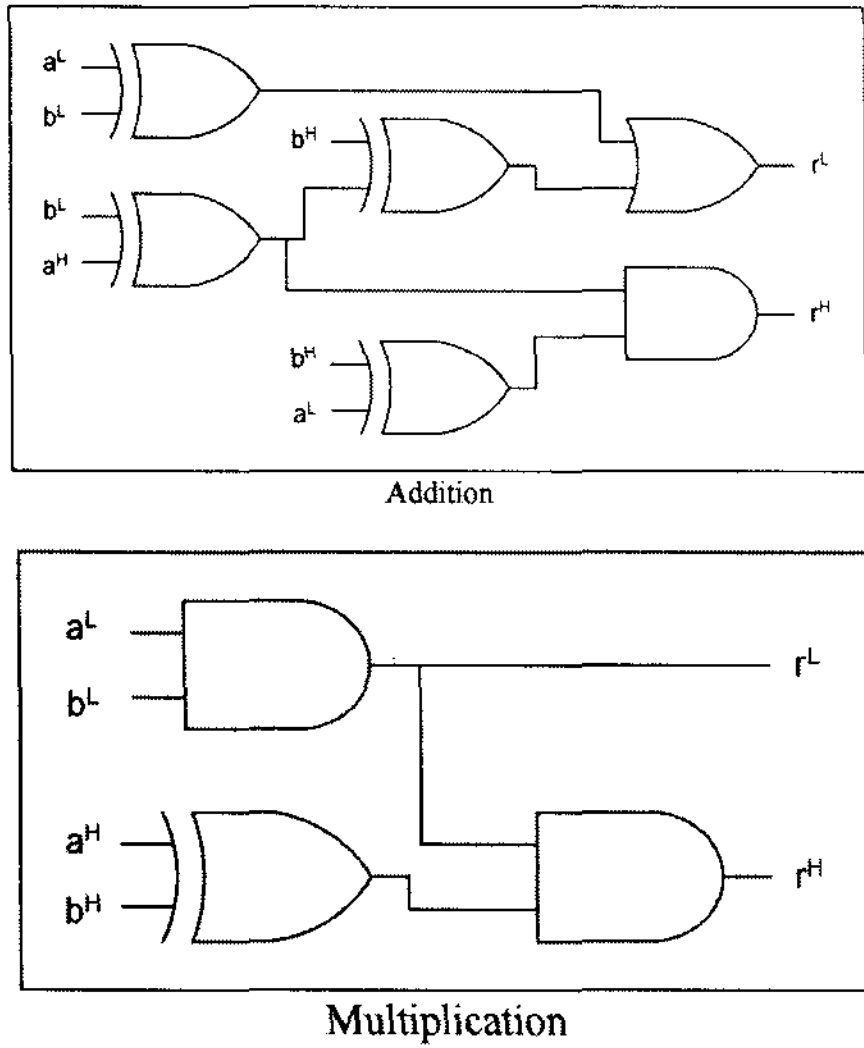
$$r_i^L = (a_i^H \oplus t) \vee (a_i^L \oplus b_i^L),$$

이고, 이때  $t = a_i^L \oplus b_i^H$ 이다.  $GF(3)$  뺄셈의 경우,  $r_i = a_i - b_i$ 를  $r_i = a_i + (-b_i)$ 으로 처리하며,  $(-b_i)$ 연산은 부호 비트를  $-b_i = (b_i^H \oplus b_i^L, b_i^L)$ 과 같이 한번의 XOR연산으로 계산할 수 있다. 또한,  $GF(3)$ 의 임의의 두 원소  $a_i, b_i$ 의 곱셈  $r_i = a_i \cdot b_i$ 를 비트 단위 연산으로 표현하면

$$r_i^H = r_i^L \wedge (a_i^H \oplus b_i^H),$$

$$r_i^L = a_i^L \wedge b_i^L,$$

이고,  $GF(3)$ 의 덧셈기 및 곱셈기의 구조는 [그림 4]와 같다.

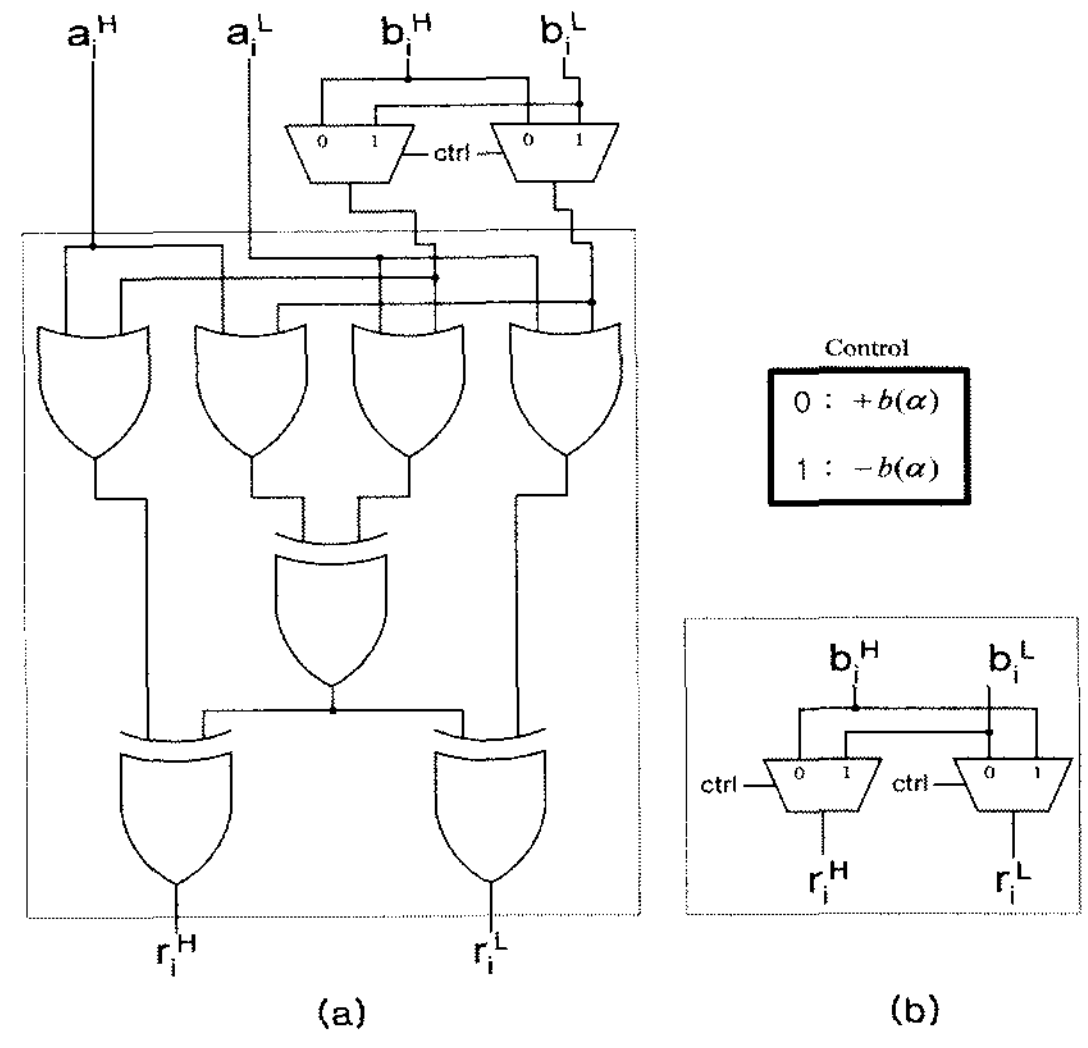


(그림 4) 제안하는  $GF(3)$  연산기 : (a) 덧셈기  
(b) 곱셈기(a)

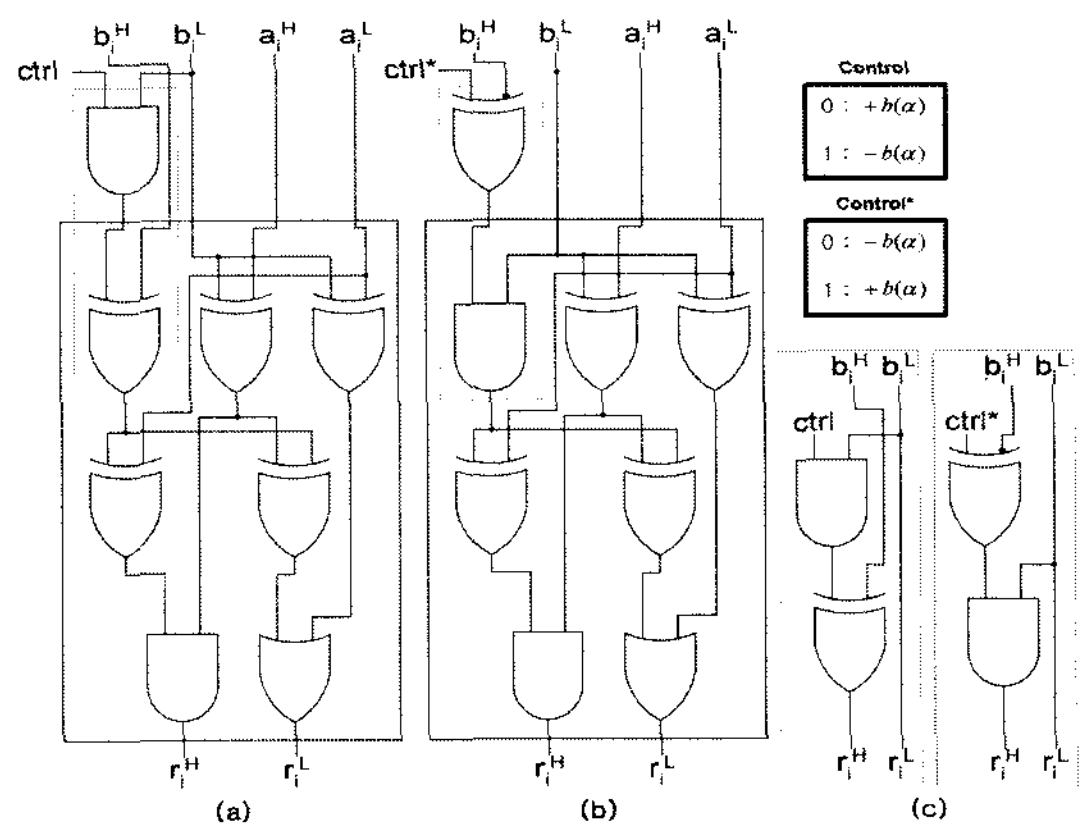
#### 4.2 제안하는 $GF(3^m)$ 덧셈-뺄셈 Unified 연산기

본 절에서는 제안하는  $GF(3)$  덧셈기를 이용하여  $GF(3^m)$  덧셈-뺄셈 unified 연산기를 제안한다. [5,6,10] 등에서와 같이 대부분의 논문에서  $GF(3^m)$  덧셈과 뺄셈 연산은  $GF(3)$ 의 원소 특징을 이용하여 unified 형태로 구성된다.  $GF(3^m)$ 의 원소  $a(\alpha), b(\alpha)$ 에 대하여 기존의  $GF(3)$  연산기는  $-a_i^H, a_i^L = a_i^L, a_i^H$ 으로 쉽게 설계된다. 따라서 unified 구조를 고려하는 경우  $r(\alpha) = a(\alpha) \pm b(\alpha)$ 의 설계를 위하여 2개의 2-input MUX를 사용하여 구성한다. 이를 설계하면 [그림 5(b)]와 같으며 이를 이용한 덧셈-뺄셈 unified 연산기는 [그림 5(a)]와 같다.

기존의  $GF(3)$  덧셈기는  $-a_i$ 를 연산할 때 두 비트를 바꿔야하지만 본 논문에서 제안하는 방법은 부호 비트만 바꾸면 되므로 간단하며,  $r(\alpha) = a(\alpha) \pm b(\alpha)$ 인 경우  $-b(\alpha)$ 의 구성 시 [그림 6(c)]과 같이 효율적으로 적용된다. 제안하는  $-b_i$  연산기는 [그림 6(c)]와 같으며 이를 이용한 덧셈-뺄셈 unified 연산기는 [그림 6(a)](또는 [그림 6(b)])와 같다. 제안하는  $GF(3^m)$  덧셈-뺄셈 unified 연산기는 [그림 6(a)]와 같이 1AND+ 1XOR 게이트를 추가하여 구성 가능하며 시간지연의 경우 1AND 게이트의 시간지연만 추가된다. FPGA 환경에서  $GF(3)$  덧셈기는 2개의 4-input LUT로 구성된다. 따라서 이를 고려한  $GF(3^9)$ 인 경우 unified 연산기에서는 2-input MUX가 194개 추가적으로 요구되는 반면에



(그림 5) 기존의  $GF(3^m)$  연산기 :  
(a) 덧셈-뺄셈 unified 연산기 (b)  $r_i = -b_i$



(그림 6) 제안하는  $GF(3^m)$  연산기 :  
(a) TYPE I 덧셈-뺄셈 unified 연산기  
(b) TYPE II 덧셈-뺄셈 unified 연산기  
(c)  $r_i = -b_i$

제안하는 unified 연산기의 경우 97개의 and(또는 XOR) 게이트만으로 구성 가능하다.

#### 4.3 제안하는 $GF(p^m)$ 비트-직렬 곱셈기

본 절에서는 새로운  $GF(p^m)$  비트-직렬 연산 방법을 제안하며, 이는  $f(x)$ 가 삼항 기약다항식이라는 특징을 기반으로 하므로 유한체의 표수에 의존하지 않는다. 이전 절에서 표수가 3인 경우에 대하여 논리를 전개하였으므로 본 절에서도  $p$ 가 3인 경우를 예로 기술한다.

Algorithm 2에서  $r(\alpha)$ 는  $r(\alpha) = r_{m-1}\alpha^{i-1} + \dots + r_0$ 이다.

따라서  $r(\alpha) \cdot a$ 는  $r(\alpha) = r_{t-1}a^m + \dots + r_0a$ 이고 식 (2)에 의하여

$$\begin{aligned} r(\alpha) \cdot a \bmod f(x) &= \sum_{i=0}^{m-1} r_i \alpha^{i+1} \bmod f(x) \\ &= r_{m-1} \alpha^m + \sum_{i=0}^{m-2} r_i \alpha^{i+1} \bmod f(x) \\ &\equiv (r_{t-1} - r_{m-1} \cdot f_t) \alpha^t - (r_{m-1} \cdot f_0) \\ &\quad + \sum_{i=0, i \neq t-1}^{m-2} r_i \alpha^{i+1} \end{aligned} \quad (4)$$

이다. 따라서  $r(\alpha) \cdot a$  연산은  $(r_{t-1} - r_{m-1} \cdot f_t) \alpha^t$ 에서 각각 한번의  $GF(3)$  곱셈 및 뺄셈으로 연산된다. 이를 이용하면 Algorithm 2의 복 연산문인  $r(\alpha) \equiv r(\alpha) \cdot a + a_i \cdot b(\alpha) \bmod f(x)$ 은  $i$ 가  $m-1$ 에서 0까지 감소하는 것을 고려할 때, 다음과 같이 표현된다.

$$r(\alpha)^{(i)} = \sum_{j=0}^{m-1} r_j^{(i)} \alpha^j = r(\alpha)^{(i+1)} \cdot \alpha + a_i \cdot b(\alpha).$$

따라서 위의 식에 식 (4)를 적용하면,

$$r(\alpha)^{(i)} \equiv r(\alpha)^{(i+1)} \cdot \alpha + a_i \cdot b(\alpha) \bmod f(x)$$

$$= (r_{t-1} - r_{m-1} \cdot f_t + a_i b_t) \alpha^t + (a_i b_0 - r_{m-1} \cdot f_0)$$

$$+ \sum_{i=0, i \neq t-1}^{m-2} (r_i + b_{i+1}) \alpha^{i+1} \quad (5)$$

이고,  $r(\alpha)^{(m)} = 0$ 이다.

**Definition 1.** ( $a$ )가  $GF(3^m)$ 의 원소라 하고 기약 다항식을  $f(x)$ 에 대하여  $\tilde{f}(x) = f(x) \cdot x$ 라 하면,

$$\bar{a}(\alpha) = a(\alpha) - a_{t+1} \cdot f_t \cdot \tilde{f}(\alpha)$$

$$= a(\alpha) - a_{t+1} \cdot f_t \cdot f(\alpha) \alpha$$

이다.

**Theorem 1.**  $a(\alpha), b(\alpha) \in GF(3^m)$ 이라면, Definition 1에 의하여 두 원소의 곱은

$$\begin{aligned} a(\alpha)b(\alpha) \bmod f(x) &= (a(\alpha)b(\alpha)\alpha \bmod f(x))\alpha \\ &= \{\bar{a}(\alpha)\bar{b}(\alpha)\alpha \bmod \tilde{f}(x)\}/\alpha \\ &= \{\tilde{a}(\alpha) \cdot b(\alpha) \bmod \tilde{f}(x)\}/\alpha \\ &= \{\bar{a}(\alpha) \cdot \bar{b}(\alpha) \bmod \tilde{f}(x)\}/\alpha \end{aligned}$$

#### Algorithm 4 제안하는 MSB-first 비트-직렬 곱셈

$$\text{Input : } \tilde{a}(\alpha) = a(\alpha)\alpha = \sum_{i=0}^{m+2} \tilde{a}_i \alpha^i = (0, 0, a_{m-1}, \dots, a_0, 0),$$

$$\begin{aligned} b(\alpha) &= \sum_{i=0}^{m-1} b_i \alpha^i = (b_{m-1}, \dots, b_0), \quad a_i, b_i \in GF(3), \\ &-f_t, -f_0, -f_t f_0 \in GF(3) \end{aligned}$$

$$\text{Output : } r(\alpha) = a(\alpha) \cdot b(\alpha) \bmod f(x) = \sum_{i=0}^{m-1} r_i \alpha^i, \quad r_i \in GF(3)$$

$$\begin{array}{ll} \delta \leftarrow 0, & \lambda \leftarrow 0 \\ \overline{b_{m+1}} \leftarrow 0, & \overline{b_0} \leftarrow 0 \end{array}$$

for  $i = m+2$  to 0 do

##### 1. Multiplication

$$(a) (\bar{b}(\alpha) \text{ Initialization}) \quad \overline{b_{m+1}} \leftarrow b_{t+1} \cdot (-f_t), \quad \text{temp1} \leftarrow b_{t+1} \cdot (-f_t f_0)$$

$$(b) v(\alpha) \leftarrow \sum_{j=0, j \neq t+1, 1}^{m-1} \tilde{a}_i b_j \alpha^j, \quad v_{t+1} \leftarrow \delta \cdot (-f_t), \quad v_1 \leftarrow \delta \cdot (-f_0)$$

$$(c) (\text{Precomputation}) \quad \text{temp2} \leftarrow \overline{b_{m+1}} \cdot \overline{a_{i-1}}, \quad \text{temp3} \leftarrow \overline{b_1} \cdot \overline{a_{i-1}}$$

##### 2. Addition

$$(a) (\bar{b}(\alpha) \text{ Initialization}) \quad \overline{b_1} \leftarrow \text{temp1} + b_1$$

$$(b) r(\alpha) \leftarrow \sum_{j=2}^{m-1} (v_j + c_{j-1}) \alpha^j, \quad r_m \leftarrow r_{m-1}, \quad r_1 \leftarrow v_1 + \lambda, \quad r_0 \leftarrow v_0$$

$$(c) (\text{Precomputation}) \quad \delta \leftarrow \text{temp2} + r_{m-1}, \quad \lambda \leftarrow \text{temp3} + v_0$$

end for

Return  $(r(\alpha)/\alpha)$

이고, 이때  $a(\alpha)\alpha = \tilde{a}(\alpha) = \sum_{i=0}^m \tilde{a}_i \alpha^i$ 이다. 그리고  $f(x)$ 가

삼항 기약다항식이면,  $b(\alpha) \equiv \bar{b}(\alpha) \bmod f(x)$ 이고  $\bar{b}(\alpha)$ 의  $t+1$ 항의 계수는 0이다.(단,  $t < m-1$ 이다.)

$GF(3)$ 의 0이 아닌 임의의 원소  $a_i$ 는 자신의 역원이므로  $a_i^2 = 1$ 이다. 따라서  $\bar{b}(\alpha)$ 의  $t+1$ 항은

$$b_{t+1}\alpha^{t+1} - b_{t+1} \cdot f_t \cdot f_t \alpha^{t+1} = (b_{t+1} - b_{t+1})\alpha^{t+1}$$

이므로,  $t+1$ 항의 계수는 0이다. 따라서 Algorithm 2의  $r(\alpha) \equiv r(\alpha) \cdot \alpha + a_i b(\alpha) \bmod f(x)$ 는 Theorem 1에 의하여  $r(\alpha) \equiv r(\alpha) \cdot \alpha + \tilde{a}_i \cdot \bar{b}(\alpha) \bmod \tilde{f}(x)$ 이며 반복 연산을 고려하여 표현하면 다음과 같으며  $\tilde{f}(x)$ 가  $m+1$ 차 이므로  $\tilde{r}(\alpha)^{(i+1)}$ 은  $m+1$ 차이다.

$$\begin{aligned} r(\alpha)^{(i)} &\equiv r(\alpha)^{(i+1)} \cdot \alpha + \tilde{a}_i \cdot \bar{b}(x) \bmod \tilde{f}(x) \\ &= \tilde{r}(\alpha)^{(i+1)} + \tilde{a}_i \cdot \bar{b}(x) \bmod \tilde{f}(x) \\ &= (\tilde{r}_{m+1}^{(i+1)} + \tilde{a}_i \bar{b}_{m+1}) \alpha^{(m+1)} \\ &\quad + \sum_{j=0}^m (\tilde{r}_j^{(i+1)} + \tilde{a}_i \bar{b}_j) \alpha^j \bmod \tilde{f}(x) \end{aligned} \quad (6)$$

식 (6)에서  $\tilde{r}_{m+1}^{(i+1)} + \tilde{a}_i \bar{b}_{m+1}$ 를  $\delta^{(i)}$ 라 하면

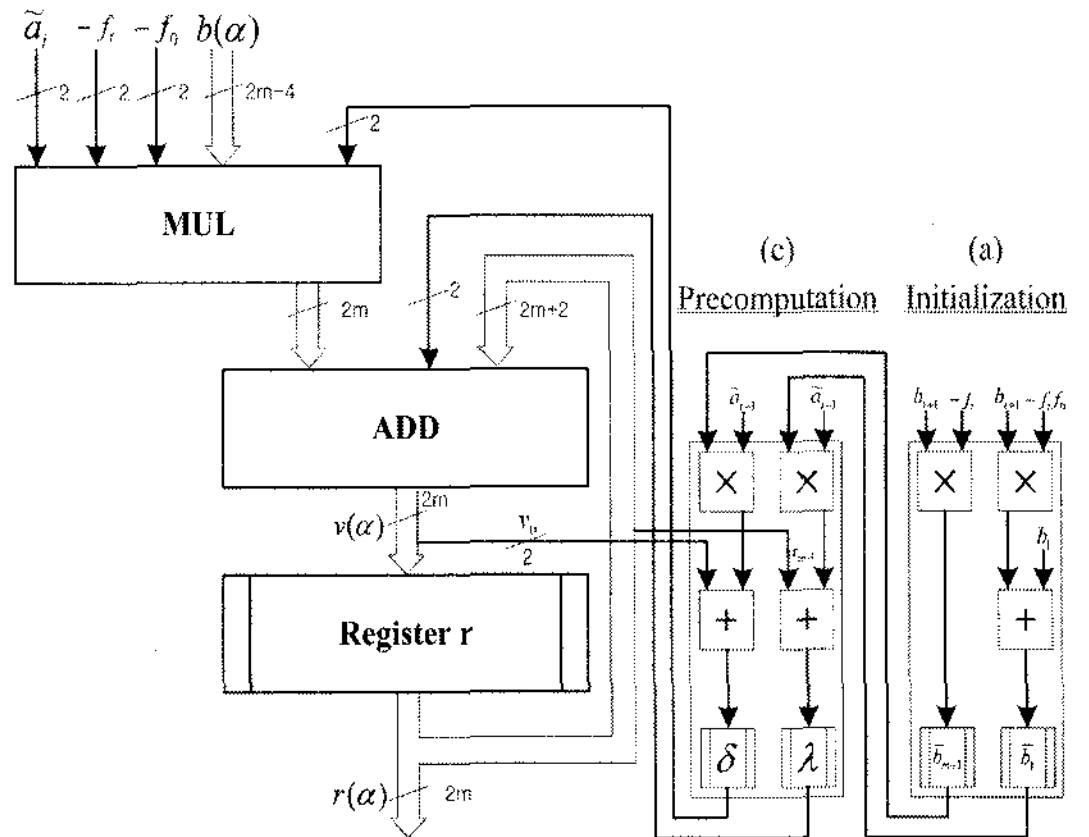
$$\begin{aligned} \delta^{(i)} \cdot \alpha^{(m+1)} + \sum_{j=0}^m (\tilde{r}_j^{(i+1)} + \tilde{a}_i \bar{b}_j) \alpha^j \bmod \tilde{f}(x) \\ = (-\delta^{(i)} \bar{f}_{t+1} \alpha^{t+1} - \delta^{(i)} \bar{f}_1 \alpha) \\ + \sum_{j=0}^m (\tilde{r}_j^{(i+1)} + \tilde{a}_i \bar{b}_j) \alpha^j \bmod \tilde{f}(x) \end{aligned}$$

이고, 이를 식 (6)에 적용하여 정리하면  $r(\alpha)^{(i)}$ 의 계수는 다음과 같다.

$$r_j^{(i)} \equiv \begin{cases} \tilde{r}_j^{(i+1)} + \tilde{a}_i \bar{b}_j & , m \geq j \geq 0, j \neq t+1, 1 \\ \tilde{r}_{t+1}^{(i+1)} + \tilde{a}_i \bar{b}_{t+1} - \delta^{(i)} \bar{f}_{t+1} & , j = t+1, \\ \tilde{r}_1^{(i+1)} + \tilde{a}_i \bar{b}_1 - \delta^{(i)} \bar{f}_1 & , j = 1 \end{cases} \quad (7)$$

**Theorem 2.**  $\tilde{r}_{m+1}^{(i+1)} + \tilde{a}_i \bar{b}_{m+1}$ 를  $\delta^{(i)}$ 라 하고,  $\tilde{a}_{i+1} \bar{b}_0 + \tilde{a}_i \bar{b}_1$ 를  $\lambda^{(i)}$ 이라 하면,

$$r_j^{(i)} \equiv \begin{cases} \tilde{r}_j^{(i+1)} + \tilde{a}_i \bar{b}_j & , m \geq j \geq 0, j \neq t+1, 1 \\ \tilde{r}_{t+1}^{(i+1)} - \delta^{(i)} \bar{f}_{t+1} & , j = t+1, \\ \lambda^{(i)} - \delta^{(i)} \bar{f}_1 & , j = 1 \end{cases}$$



(그림 7) 제안하는  $GF(3^m)$  MSB-first 비트-직렬 곱셈기

이고,  $i+1$ 번째 반복문에서  $\delta^{(i)}$ 와  $\lambda^{(i)}$ 를 계산할 수 있으면  $i$ 번째 반복문에서  $r(\alpha)^{(i)}$ 의 모든 계수는 각각 한번의  $GF(3)$  곱셈 및 덧셈 연산으로 계산된다.

$\bar{b}(\alpha)$ 의  $t+1$ 항은 0이므로  $r_{t+1}^{(i)} = \tilde{r}_{t+1}^{(i+1)} + \tilde{a}_i \bar{b}_{t+1} - \delta^{(i)} \bar{f}_{t+1} = \tilde{r}_{t+1}^{(i+1)} - \delta^{(i)} \bar{f}_{t+1}$ 이고,  $\tilde{r}_1^{(i+1)}$ 는  $r_0^{(i+1)}$ 이므로  $\lambda^{(i)}$ 를  $\tilde{a}_{i+1} \bar{b}_0 + \tilde{a}_i \bar{b}_1$ 이라 하면  $r_1^{(i)} = \tilde{a}_{i+1} \bar{b}_0 + \tilde{a}_i \bar{b}_1 - \delta^{(i)} \bar{f}_1 = \lambda - \delta^{(i)} \bar{f}_{t+1}$ 이다. 따라서  $\lambda^{(i)}$ 는  $i+1$ 번째 반복에서 계산 가능하다. 또한,  $r_{m+1}^{(i+1)} = r_m^{(i+1)} = \tilde{r}_m^{(i+2)} + \tilde{a}_{i+1} \bar{b}_m$ 이고 Definition 1에 의하여  $\bar{b}_m$ 은 0이므로  $\delta^{(i)} = \tilde{r}_m^{(i+2)} + \tilde{a}_i \bar{b}_{m+1}$ 는  $i+1$ 번째 반복에서 계산 가능하다. 따라서  $r(\alpha)^{(i)}$ 의 모든 계수는 각각 한번의  $GF(3)$  곱셈 및 덧셈 연산으로 계산된다.

제안하는 비트-직렬 곱셈 방법을 정리하면 Algorithm 4와 같으며 이는 다음과 같다. 제안하는 알고리즘은 한번의 덧셈과 곱셈으로  $m+3$ 번 반복하며 각각 연산에서 (a), (b), (c)는 병렬로 동작한다. (a)는  $\bar{b}(\alpha)$ 를 초기화하는 과정으로 실제값은  $\bar{b}(\alpha) = b(\alpha) - b_{t+1} \cdot f_t \cdot f(\alpha)\alpha$ 의 계산 값이므로  $\bar{b}_{m+1}, \bar{b}_1$ 은  $f(x)$ 의 계수에 의하여 생신되며  $\bar{b}_m, \bar{b}_{t+1}$ 은 0 그리고 나머지  $\bar{b}_i$ 는  $b_i$ 와 같다. 따라서  $\bar{b}_{m+1}, \bar{b}_1$ 만 계산하면 된다. (b)는 Theorem 2의  $r_j^{(i)}$ 를 계산하는 부분이다. (c)는 Theorem 2의  $\delta^{(i)}, \lambda^{(i)}$ 를 계산하는 부분이므로  $i$ 번째의  $\delta^{(i)}, \lambda^{(i)}$ 는  $i+1$ 번째에서 계산되어야 한다. 따라서 알고리즘은  $i$ 가  $m+2$ 일 때  $\bar{b}(\alpha)$ 를 초기화하고  $i$ 가  $m+1$ 일 때 다음 사용할  $\delta^{(m)}, \lambda^{(m)}$ 를 계산해야 하므로  $\tilde{a}_{m+2}, \tilde{a}_{m+1}$ 을 0으로 할당하여 (a)와 (c)를 준비한다. 제안하는 MSB-first 비트-

직렬 곱셈기의 하드웨어 구조는 [그림 7]과 같다.

레지스터  $r$ 에 중간값이 저장되며  $2m+2$ 비트의 정보를 저장하고 레지스터  $\delta, \lambda, \bar{b}_{m+1}, \bar{b}_1$ 은 각각 2비트의 정보를 저장한다. (a)와 (c)의 구성에  $GF(3)$  곱셈기 4개와 덧셈기 3개가 소요되며 이 부분은 주 연산부와 병렬로 동작한다.

## V. 비교 및 결론

본 논문에서는 새로운  $GF(3)$  덧셈기 및 곱셈기와  $GF(3^m)$  덧셈-뺄셈 unified 연산기 및 MSB-first 비트-직렬 곱셈기를 제안하였다. 기존의  $GF(3)$  연산기 및  $GF(3^m)$  덧셈-뺄셈 unified 연산기와 제안하는 연산기를 비교하면 [표 1]과 같다.

[표 1]의 결과와 같이 제안하는  $GF(3)$  연산기는 기존 방법에 비하여 작은 게이트로 구성되며  $GF(3^m)$  덧셈-뺄셈 unified 연산기의 경우 제안하는 방법은 - $b_i$ 연산기가  $GF(3)$  덧셈기에 효율적으로 적용되어 기존의 결과에 비하여 시간-공간 복잡도면에서 효율적이다.

제안하는  $GF(p^m)$  MSB-first 비트-직렬 곱셈기는 삼항 기약다항식의 특징을 이용한다. [표 2]의 결과에서와 같이 제안하는 연산기는 기존의 MSB-first 비트-직렬 곱셈기에 비하여 1ADD, 2MUL, 8-bit 레지스터로 약

간의 공간복잡도가 증가하지만 시간지연이  $mMUL + 2mADD$ 에서  $(m+3)MUL + (m+3)ADD$ 으로 감소하며 ADD와 MUL의 시간지연이 같다면 시간지연이 약 30%의 감소한다. 또한, 기존의 LSB-first 비트-직렬 곱셈기와 시간지연이 거의 같으나 레지스터가 반으로 감소하여 공간 복잡도면에서 효율적이다. 따라서 제안하는 방법을 사용하면 기존의 페어링 기반의 암호시스템을 더욱 효율적으로 설계할 수 있으며 제안하는 MSB-first 비트-직렬 곱셈 방법의 경우 삼항 기약다항식을 사용하는 모든 유한체에 효율적으로 적용된다.

## 참고문헌

- [1] P.S.L.M. Barreto, S. Galbraith, C. Ó hÉigear-taigh and M. Scott, "Efficient Pairing Computation on Supersingular Abelian Varieties," *Designs, Codes and Cryptography*, Vol.42, No.3, pp.239-271, 2007.
- [2] P.S.L.M. Barreto, H.Y. Kim, B. Lynn, and M. Scott, "Efficient algorithms for pairing-based crypto systems," *CRYPTO 2002*, LNCS 2442, pp.354-368, Springer-Verlag, 2002.
- [3] G. Bertoni, L. Breveglieri, P. Fragneto, and G.

(표 1) 기존의 방법과 제안하는  $GF(3)$  연산기 및  $GF(3^m)$  덧셈-뺄셈 unified 연산기 복잡도 비교

GF(3) 연산기		Space Complexity	Critical Path Delay
Adder	기존의 방법 [10]	4OR + 3XOR	1OR + 2XOR
	제안하는 방법	1AND + 1OR + 4XOR	1OR + 2XOR
Multiplier	기존의 방법 [10]	2OR + 4AND	1OR + 1AND
	제안하는 방법	1XOR + 2AND	1XOR + 1AND
덧셈-뺄셈 unified 연산기		Space Complexity	Critical Path Delay
기존의 방법 [5]		2MUX + 4OR + 3XOR	1MUX + 1OR + 2XOR
제안하는 방법		2AND + 1OR + 5XOR	1AND + 1OR + 2XOR

(표 2) 기존의 방법과 제안하는  $GF(3^m)$  MSB-first 비트-직렬 곱셈기의 복잡도 비교

덧셈-뺄셈 unified 연산기	Space Complexity			Critical Path Delay	Latency (# clocks)
	ADD	MUL	Register		
기존의 MSB-first 방법 [5]	$m + 1$	$m + 2$	$2m$	$1MUL + 2ADD$	$m$
기존의 LSB-first 방법 [5]	$m + 1$	$m + 2$	$4m$	$1MUL + 1ADD$	$m$
제안하는 MSB-first 방법	$m + 2$	$m + 4$	$2m + 8$	$1MUL + 1ADD$	$m+3$

\* ADD :  $GF(3)$  덧셈기

\* MUL :  $GF(3)$  곱셈기

- Pelosi, "Parallel Hardware Architectures for the Cryptographic Tate Pairing," *Proceedings of the Third International Conference on Information Technology : New Generations (ITNG'06)*, pp.186-191, 2006.
- [4] G. Bertoni, J. Guajardo, S. Kumar, G. Orlando C. Paar and T. Wollinger. "Efficient  $GF(p^m)$  Arithmetic Architectures for Cryptographic Applications," *CT-RSA 2003*, LNCS 2612, pp.158-175. Springer-Verlag, 2003.
- [5] J. Beuchat, M. Shirase, T. Takagi, E. Okamoto, "An Algorithm for the Eta\_T Pairing Calculation in Characteristic Three and its Hardware Implementation", *18th IEEE International Symposium on Computer Arithmetic, ARITH-18*, pp.97-104, 2007.
- [6] J. Beuchat, T. Miyoshi, Y. Oyama, E. Okamoto, "Multiplication over  $F_{p^m}$  on FPGA : A Survey", *ARC-2007*, LNCS 4419, pp.214-225, Springer-Verlag, 2007.
- [7] I. Duursma and H.-S. Lee, "Tate pairing implementation for hyper elliptic curves  $y^2 = x^p - x + d$ ," *Asiacrypt 2003*, LNCS 2894, pp.111-123, Springer-Verlag, 2003.
- [8] S.D. Galbraith, K. Harrison, and D. Soldera, "Implementing the Tate pairing," *ANTS V*, LNCS 2369, pp.324-337, Springer-Verlag, 2002.
- [9] P. Grabher and D. Page, "Hardware Acceleration of the Tate Pairing in Characteristic Three," *CHES 2005*, LNCS 3659, pp.398- 411, Springer-Verlag, 2005.
- [10] R. Granger, D. Page, and M. Stam, "Hardware and software normal basis arithmetic for pairing based cryptography in characteristic three," *IEEE Transactions on Computers*, Vol.54, No.7, pp.852- 860, July 2005.
- [11] T. Kerins, W. Marnane, E. Popovici, P. S. L. M. Barreto "Efficient Hardware for the Tate Pairing Calculation in Characteristic Three," *CHES 2005*, LNCS 3659, pp.398-411, Springer-Verlag, 2005.
- [12] T. Kerins, E. M. Popovici and W. P. Marnane. "Algorithms and Architectures for use in FPGA implementations of Identity Based Encryption Schemes," *FPL 2004*, LNCS 3203, pp.74-83, Springer-Verlag, 2004.
- [13] S. Kwon, "Efficient Tate pairing computation for elliptic curves over binary fields," *ACISP 2005*, LNCS 3574, pp.134-145, Springer-Verlag, 2005
- [14] V. S. Miller. Short programs for functions on curves. Unpublished manuscript, 1986.  
<http://crypto.stanford.edu/miller/miller.pdf>.
- [15] D. Page and N. Smart "Hardware Implementation of Finite Fields of Characteristic Three," *CHES 2002*, LNCS 2523, pp.529-539, Springer-Verlag, 2003.

〈著者紹介〉



**장 남 수 (Nam Su Chang) 학생회원**

2002년 2월 : 서울 시립대학교 수학과 이학사

2004년 8월 : 고려대학교 정보보호 대학원 공학석사

2005년 2월~현재 : 고려대학교 정보경영공학전문대학원 박사과정

<관심분야> 암호칩 설계 기술, 부채널 공격, 공개키 암호 알고리즘, 공개키 암호 암호분석



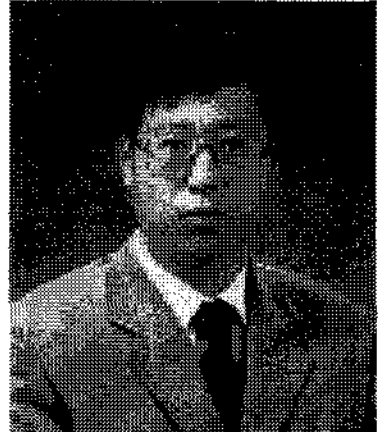
**김 태 현 (Tae Hyun KIM) 학생회원**

2002년 2월 : 서울 시립대학교 수학과 이학사

2004년 8월 : 고려대학교 정보보호 대학원 공학석사

2005년 2월~현재 : 고려대학교 정보경영공학전문대학원 박사과정

<관심분야> 부채널 공격, 공개키 암호 알고리즘, 암호칩 설계 기술



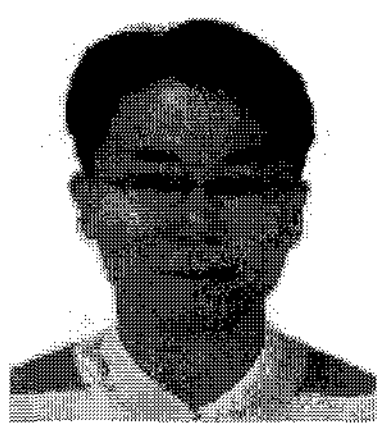
**김 창 한 (Chang Han Kim) 종신회원**

1985년 2월 : 고려대학교 수학과 학사

1987년 2월 : 고려대학교 수학과 석사

1992년 2월 : 고려대학교 수학과 박사

<관심분야> 정수론, 공개키암호, 암호프로토콜



**한 동 국 (Dong-Guk Han) 정회원**

1999년 : 고려대학교 수학과 졸업(학사)

2002년 : 고려대학교 수학과 석사 (이학석사)

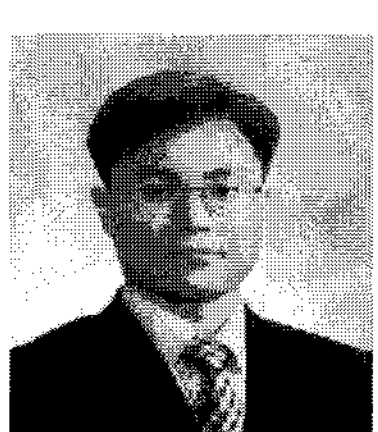
2005년 : 고려대학교 정보보호대학원 박사 (공학박사)

2004년 4월~2005년 4월 : 일본 Kyushu Univ., 방문연구원

2005년 4월~2006년 4월 : 일본 Future Univ.-Hakodate, Post.Doc.

2006년 6월~현재 : 한국전자통신연구원 정보보호연구단 선임연구원

<관심분야> 공개키 암호시스템 안전성 분석 및 고속 구현, 부채널 분석, RFID/USN 정보보호 기술



**김 호 원 (Ho Won Kim) 종신회원**

1993년 2월 : 경북대학교 전자공학과 졸업(학사)

1995년 2월 : 포항공과대학교 전자전기공학과 석사(공학석사)

1999년 2월 : 포항공과대학교 전자전기공학과 박사(공학박사)

1998년 12월~2008년 2월 : 한국전자통신연구원(ETRI) 정보보호연구단 선임연구원/팀장

2008년 3월~현재 : 부산대학교 정보컴퓨터공학부 조교수

<관심분야> RFID/USN 정보보호 기술, 타원곡선 및 초타원곡선 암호 이론, VLSI 설계, embedded system